

การรับน้ำหนักของเข็มสั้นที่มีหน้าตัดต่างกันในกรุงเทพฯ

004996

นาย ศิริชัย ศรีรัตนสถาพร



วิทยานิพนธ์นี้เป็นส่วนหนึ่งของการศึกษาคณะหลักสูตรปริญญา

วิศวกรรมศาสตรมหาบัณฑิต

บัณฑิตวิทยาลัย จุฬาลงกรณ์มหาวิทยาลัย

พ.ศ. 2518

004996

I17322832

"The Bearing Capacity of Short Piles Having Various
Shapes in Bangkok Clay"

Mr. Sirichai Sriratanasathavorn

A Thesis Submitted in Partial Fulfillment of the Requirements
for the Degree of Master of Engineering
Department of Civil Engineering
Graduate School
Chulalongkorn University

1975

III

Accepted by the Graduate School. Chulalongkorn University
in partial fulfillments of the requirement for the Degree of Master
of Engineering.

Kiril Prochnatamol.
.....

Dean of the Graduate School.

Thesis Committee

Niwat Duranandee..... Chairman

V. Tengamnuay.....

S. Bunnag.....

Prachit Chiruggap.....

Thesis Supervisor

Associate Prof. Vichien Tengamnuay

หัวข้อวิทยานิพนธ์ การรับน้ำหนักของเข็มสั้นที่มีหน้าตัดต่างกันในเมืองเทพ ฯ
 ชื่อ นายศิริชัย ศรีรัตนสตาวร แผนกวิชา วิศวกรรมโยธา
 ปีการศึกษา ๒๕๑๘

บทคัดย่อ



เข็มรูปหน้าตัดต่าง ๆ กัน ๒ แบบ คือ สามเหลี่ยมค้ำเท้า และสี่เหลี่ยมจัตุรัส Double Half Moon วงกลม เข็ม Y และแปดเหลี่ยม ได้นำมาทดสอบที่จุฬาลงกรณ์มหาวิทยาลัย ผลจากการทดลองพบว่า เข็มทุกต้นจะรับน้ำหนักถึงจุดพิบัติทันที เมื่อมีระยะทรุดตัวอยู่ระหว่าง ๔.๕ มม. ถึง ๕.๕ มม. ในการคำนวณแรงเฉิดทางข้างของเข็ม ควรใช้เส้นรอบรูปประสิทธิผลของเข็ม (effective perimeter) เส้นรอบรูปประสิทธิผลนี้ คือ ผลคูณของเส้นรอบรูปที่น้อยที่สุดของเข็มกับ reduction factor สำหรับเข็มรูปทรงเรขาคณิต ค่า reduction factor จะมีค่าเท่ากับหนึ่ง เข็มสั้นที่ประหยัด คือ เข็มที่มีเส้นรอบรูปมากแต่มีพื้นที่หน้าตัดน้อยที่สุด นอกจากนี้ เส้นรอบรูปเข็มไม่ควรเว้าแหว่งมาก

การทดลองแบบ Quick Test เป็นการทดลองที่ดีที่สุดเมื่อต้องการหาเพียงแต่ค่าน้ำหนักแบกทานสูงสุดของเข็ม critical load ratio ของเข็มที่ทำการทดลองอยู่ระหว่าง ๐.๗๒ ถึง ๐.๘ ส่วนสัมประสิทธิ์การเกาะตัว (Adhesion Factor) อยู่ระหว่าง ๐.๗๕ ถึง ๐.๘๕

ACKNOWLEDGEMENTS

The research was carried on at the Department of **Civil Engineering**, Chulalongkorn University and was financed by a University research grant.

The author would like to express his gratitude to his advisor, Associate Prof. Vichien Tengamnuay for his suggestion and encouragement throughout the course of the research. He also wishes to thank Prof. Dr. Niwat Daranandana, Assistant Prof. Prachit Chiruppapa, Dr. Supradit Bunnag for serving as a thesis committee.

This research project was made possible under the sponsor of the Concrete Products & Aggregate Co., LTD. The author also wishes to acknowledge Mr. Pipat Pithyachariyakul and Mr. Sitthichai Vongariyakavce for helping **to prepare** the equipments for test in this research. Special thank is due to Mr. Suebsak Promboon for his good suggestion.

Finally, the author wish to thank all **friends for** their help in the experimental work of this research, Miss Vanida Trakuljulakiert and Miss Vilairat Kanjanavisutthideh for their efficient typing **of the manuscript.**

CONTENTS

CHAPTER		PAGE
1	INTRODUCTION	1
2	LITERATURE REVIEW	3
3	SUBSOIL CONDITIONS	38
4	EXPERIMENTAL INVESTIGATION	41
5	ANALYSIS OF RESULTS	53
6	DISCUSSION	88
7	CONCLUSION	98
8	RECOMMENDATION FOR FUTURE WORK	100
	REFERENCES	101
	VITA	104

LIST OF TABLES

TABLE	TITLE	PAGE
1	Some Codes And Specifications For Pile Load Tests	13
2	Summary of Load-Settlement of All Piles	85
3	Summary Relationship Between Load And Plastic, Elastic Settlement	86
4	Summary Relationship Between Load-Ratio And Total, Elastic, Elastic Settlement	86
5	Comparison ML Test and Quick Test of All Piles	86
6	Summary The Relationship of The Bearing Capacity of Piles to The Properties of Soil	87

LIST OF FIGURES

FIGURE	TITLE	PAGE
1	Typical Relationship Between Total Load, Shaft Load and End Load to Top Settlement	4
2	Adhesion Factors For Clay	9
3	Slope Criteria For Determining "Failure" Load From Load-Settlement Curves	14
4	Interpretation of Results (Texas Highway Department) Quick Test Method	18
5	The Relationship of The Elastic Shortening of Pile to The Frictional Resistance	24
6	The Evaluation of The Influence Factor of Pile by Assuming Mode Shape of Frictional Resistance	25
7	Load Transfer Along Pile	27
8	The Application of Load Distribution	28
9	Relationship Between End Load and Elastic Compression of Subgrade	31
10	Relationship Between Load on Pile Top and Elastic Compression of Subgrade	31
11	Relationship Between Load on Pile Top, End Load Maximum Shaft Friction And The Elastic Compression of Subgrade	31
12	Relationship Between Load on Pile Top and Elastic Recovery of Pile Top	32
13	Separating of Shaft Friction and End Bearing	32

FIGURE	TITLE	PAGE
14	Soil Properties at The Test Site	39
15	Plastic Chart (After A Casagrande) of The Test Site	40
16	The Details of Strain Rod	45
17	Details of Piles	46
18	Lay-out of The Site	47
19	Shapes of Piles For Test	48
20	Strain Rods Instrumentation Embedded in Piles	49
21	Set-up Equipment For Test	50
22	File Load Test	51
23	Load-Settlement Curve of ∇ Shape and Δ Shape	53
24	Load-Settlement Curve of \boxplus Shape and \square Shape	54
25	Load-Settlement Curve of \bigcirc Shape and Octagonal Shape	55
26	Relationship of Load and Top, Toe Settlement of \square Shape and Δ Shape	56
27	Relationship of Load and Top, Toe Settlement of \boxplus Shape	57
28	Relationship of Load and Top, Toe Settlement of Octagonal Shape	58
29	Relationship of Load to Elastic And Plastic Settlement of ∇ Shape	59
30	Relationship of Load to Elastic And Plastic Settlement of Δ Shape	60


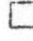

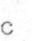

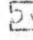




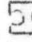



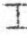





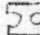




FIGURE	TITLE	PAGE
31	Relationship of Load to Elastic And Plastic Settlement of  Pile	62
32	Relationship of Load to Elastic and Plastic Settlement of  Shape	63
33	Relationship of Load to Elastic and Plastic Settlement of  Shape	64
34	Relationship of Load to Elastic and Plastic Settlement of Octagonal Shape	65
35	Relationship of Load-Ratio to Total, Plastic Elastic Settlement of  Shape	66
36	Relationship of Load-Ratio to Total, Plastic Elastic Settlement of  Shape	67
37	Relationship of Load-Ratio to Total, Plastic Elastic Settlement of  Shape	68
38	Relationship of Load-Ratio to Total, Plastic Elastic Settlement of  Shape	69
39	Relationship of Load-Ratio to Total, Plastic Elastic Settlement of  Shape	70
40	Relationship of Load-Ratio to Total, Plastic Elastic Settlement of Octagonal Shape	70
41	Quick Test of  Shape	71
42	Quick Test of  Shape	72
43	Quick Test of  Shape	73
44	Quick Test of  Shape	74
45	Quick Test of  Shape	75
46	Quick Test of Octagonal Shape	76

FIGURE	TITLE	PAGE
47	Soil Properties at Nong Khaem	78
48	Load Settlement-Time Curve of  Shape	79
49	Load Settlement-Time Curve of  Shape	80
50	Load Settlement-Time Curve of  Shape	81
51	Load Settlement Curve of  Shape  Shape and  Shape (Long Pile)	82
52	Load-Settlement Curve of  Shape  Shape and  Shape (Short Pile)	83
53	Relationship of Load to Elastic and Plastic Settlement of  ,  ,  , Shape (Long Pile)	84

LIST OF DEFINITIONS AND SYMBOLS

N_c, N_q, N_γ	Bearing capacity factors
Q, Q_e, Q_s	Total, end, friction loads respectively
Q_{ul}, Q_{um}, Q_{uf}	Ultimate maximum and failure loads respectively
Q_{eu}, Q_{em}, Q_{ef}	End loads at ultimate, maximum and failure respectively
Q_{su}, Q_{sm}, Q_{sf}	Shaft loads at ultimate, maximum and failure load
L	Length of pile
α	Adhesion factor
ρ	Settlement of pile
ρ_{top}	Settlement of pile top
ρ_{toe}	Settlement of pile toe
ρ_d	Plastic settlement of soil
Δ_p	Elastic shortening of pile
Δ_{pe}	Elastic shortening of pile due to end load
Δ_{pf}	Elastic shortening of pile due to shaft load
Δ_s	Elastic compression of subgrade
Δ_r	Elastic rebound of pile
A	Cross section area of pile
C	Cohesion of soil
C_a	Adhesion between soil and pile